

УДК 532.582

МОДЕЛИРОВАНИЕ ПОПЕРЕЧНЫХ АВТОКОЛЕБАНИЙ КРУГОВОГО ЦИЛИНДРА, ОБТЕКАЕМОГО НЕСЖИМАЕМОЙ ЖИДКОСТЬЮ В ПЛОСКОМ КАНАЛЕ ПРИ НАЛИЧИИ ЦИРКУЛЯЦИИ

А. А. Харламов

Институт гидродинамики Академии наук Чешской Республики, 16612 Прага,
Чешская Республика
E-mail: kharlamov@ih.cas.cz

Моделируются наблюдаемые в экспериментах автоколебания цилиндра в плоском канале, ширина которого незначительно превышает диаметр цилиндра, под действием натекающего потока жидкости. В рамках модели безотрывного потенциального обтекания цилиндра с помощью обобщенного метода изображений рассчитываются коэффициенты присоединенных масс цилиндра. В моменты касания цилиндра и стенки меняется знак циркуляции, ее значение определяется с использованием метода граничных элементов и условия непротекания жидкости в точке контакта. В уравнениях движения цилиндра учитываются сила Жуковского и сила сопротивления, пропорциональная квадрату скорости.

Ключевые слова: цилиндр, канал, поток, автоколебания, присоединенная масса, циркуляция.

1. Исследование динамики размещенных в трубопроводах тел, занимающих в потоке значительное место и свободно перемещающихся только в поперечном к натекающему потоку направлении, является сложной, малоизученной и представляющей теоретический и практический интерес гидродинамической задачей.

В [1] описаны результаты экспериментального исследования обтекания цилиндров в плоском канале прямоугольного поперечного сечения, сильно загромождающих поток и свободно передвигающихся в поперечном к потоку направлении. Эксперименты проводились в диапазонах значений числа Рейнольдса $1,7 \cdot 10^4 \leq \text{Re} \leq 7,2 \cdot 10^4$ ($\text{Re} = V_0 D / \nu$; D — диаметр цилиндра; V_0 — скорость набегающего потока; ν — кинематическая вязкость) при значениях относительной ширины зазора δ/D между цилиндром и стенкой канала $0,11 \leq \delta/D \leq 0,31$ и отношения плотностей цилиндра и воды $1,29 \leq \rho/\rho_f \leq 8,20$. В результате многочисленных опытов с обтекаемыми водой цилиндрами различного размера, изготовленными из различных материалов, получено простое приближенное соотношение, связывающее безразмерную частоту автоколебаний (число Струхала $\text{Sh} = fD/V_0$, где $f = 1/\tau$ — частота автоколебаний; τ — период автоколебаний) с относительной шириной зазора, отношением плотностей и числом Рейнольдса:

$$\text{Sh} = (\delta/D)^{-1}(\rho/\rho_f)^{-0,1}(0,4 + 2100/\text{Re}). \quad (1)$$

Работа выполнена в рамках Исследовательского плана Института гидродинамики Академии наук Чешской Республики № AV0Z20600510.

© Харламов А. А., 2012

В [2] предпринята попытка моделирования указанных автоколебаний в рамках модели идеальной жидкости с учетом диссипативных факторов. Для поддержания автоколебаний в уравнения вводилась дополнительная импульсная сила, действующая на цилиндр в момент его удара о стенку. Параметры этой силы определялись путем сравнения результатов расчетов с результатами экспериментов.

В данной модели автоколебания поддерживаются за счет циркуляции, определяемой в момент касания цилиндром стенки из условия непротекания жидкости в точке касания. Учет циркуляции позволил уменьшить количество эмпирических параметров модели и улучшить соответствие экспериментальным данным.

2. Для координаты центра цилиндра x запишем уравнения в форме уравнений Лагранжа

$$\frac{d}{dt} \frac{\partial(T_0 + T)}{\partial \dot{x}} - \frac{\partial T}{\partial x} = \rho_f n \Gamma V_0 \frac{\dot{x}}{|\dot{x}|} - \frac{1}{2} C_d D \rho_f \dot{x}^2 \frac{\dot{x}}{|\dot{x}|},$$

$$T_0 = (\pi/8) D^2 \rho \dot{x}^2, \quad T = (\pi/8) D^2 \rho_f (C_{m1} V_0^2 + C_{m2} \dot{x}^2),$$

где T_0 , T — кинетические энергии цилиндра и жидкости соответственно; Γ — циркуляция жидкости вокруг цилиндра; n — поправочный коэффициент в формуле Жуковского с учетом наличия стенок; C_d — коэффициент сопротивления; C_{m1} , C_{m2} — коэффициенты присоединенных масс. После ряда преобразований получаем уравнение

$$\left(\frac{\rho}{\rho_f} + C_{m2} \right) \ddot{x} = \frac{1}{2} \left(V_0^2 \frac{\partial C_{m1}}{\partial x} - \dot{x}^2 \frac{\partial C_{m2}}{\partial x} \right) - \frac{2 \dot{x}^2 C_d}{\pi D} \frac{\dot{x}}{|\dot{x}|} + \frac{4 V_0 n \Gamma}{\pi D^2} \frac{\dot{x}}{|\dot{x}|}. \quad (2)$$

При соударении цилиндра со стенкой его скорость изменяется по закону

$$\dot{x}_+ = -C_r \dot{x}_-,$$

где \dot{x}_- , \dot{x}_+ — скорости до и после соударения соответственно; C_r — коэффициент восстановления.

Для расчета коэффициентов присоединенных масс цилиндра, произвольно движущегося в идеальной жидкости между двумя параллельными стенками, используется обобщение метода изображений [2]. Потенциал течения представляется в виде потенциала бесконечной последовательности диполей, расположенных на линии, проходящей через центр цилиндра и перпендикулярной стенкам.

Полученные зависимости коэффициентов присоединенных масс цилиндра от безразмерных расстояний до стенок при движении параллельно и перпендикулярно им аппроксимируются соответственно функциями

$$C_{m1} = 1 + P_1 [(\bar{b} - d_1)^{p_1} + (\bar{c} - d_1)^{p_1}] + P_2 [(\bar{b} - d_2)^{p_2} + (\bar{c} - d_2)^{p_2}] +$$

$$+ P_3 (\bar{b}^{n_1} \bar{c}^{n_1} - 1)^{r_1} + P_4 (\bar{b} - n_2)^{r_2} (\bar{c} - n_2)^{r_2},$$

$$P_1 = 0,345, \quad d_1 = 0,28, \quad p_1 = -1,86, \quad P_2 = 0,0094, \quad d_2 = 0,9517, \quad p_2 = -1,4,$$

$$P_3 = 2,2, \quad n_1 = 130, \quad r_1 = -0,013, \quad P_4 = 0,0107, \quad n_2 = 0,912, \quad r_2 = -1,53$$

и

$$C_{m2} = 1 + P_1 [(\bar{b} - d_1)^{p_1} + (\bar{c} - d_1)^{p_1}] + P_2 [(\bar{b} - d_2)^{p_2} + (\bar{c} - d_2)^{p_2}] +$$

$$+ P_5 [(\bar{b} - s_1)^{q_1} (\bar{c} - s_1)^{q_1} - s_2]^{q_2},$$

$$P_5 = -1,6, \quad s_1 = 0,996, \quad q_1 = 0,21, \quad s_2 = -1,23, \quad q_2 = -5,16,$$

где $\bar{b} = 2b/D$, $\bar{c} = 2c/D$ — безразмерные расстояния от центра цилиндра до стенок канала.

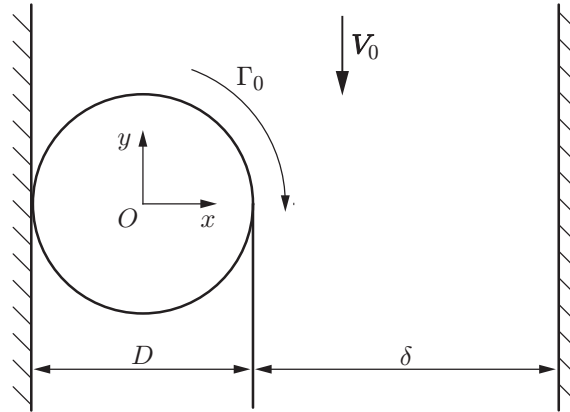


Рис. 1. Схема обтекания цилиндра при наличии двух стенок

3. Циркуляция Γ_0 вокруг цилиндра при его касании одной из стенок (рис. 1) определяется из условия непротекания жидкости в точке контакта.

При удалении второй стенки на расстояние, равное бесконечности, задача соответствует задаче обтекания цилиндра, касающегося одной стенки. Проинтегрировав точное решение для скорости на поверхности цилиндра, приведенное в [3], получаем циркуляцию

$$\Gamma^* = \pi V_0 D. \quad (3)$$

При больших загромождениях потока основной вклад в циркуляцию вносит скорость в окрестности точки $y = 0$. Расстояние между границей цилиндра и стенкой находится из асимптотического разложения $\delta(y) = \delta + y^2/D + O(y^4)$, а средняя скорость $v_f(y)$ — с использованием условия сохранения расхода $(\delta + D)V_0 = \delta(y)v_f(y)$. Тогда

$$v_f(y) = \frac{V_0(\delta + D)}{\delta + y^2/D}.$$

Из этого соотношения получаем циркуляцию для малой относительной ширины зазора

$$\Gamma_0 \approx \int_{-\infty}^{\infty} v_f dy = \frac{\Gamma^*}{\sqrt{\bar{\delta}}}, \quad \bar{\delta} = \frac{\delta}{D}. \quad (4)$$

Для значений относительной ширины зазора $\bar{\delta} \in (0,015, \infty)$ циркуляция рассчитана с помощью метода, описанного в работах [4, 5]. Полученная зависимость с учетом (3) и (4) аппроксимирована следующей приближенной формулой:

$$\frac{\Gamma_0}{\Gamma^*} = 1 + \frac{G_1}{\sqrt{\bar{\delta} - G_2}} + \frac{G_3}{\sqrt{\bar{\delta}}}, \quad G_1 = -0,963, \quad G_2 = -0,69, \quad G_3 = 0,95.$$

При этом максимальные значения погрешности аппроксимации равны 0,3 % в расчетной области и 5 % в области асимптотического решения (рис. 2).

Во время движения цилиндра циркуляция затухает в результате действия сил вязкого трения. Дифференцируя по времени контурный интеграл $\Gamma = \oint \mathbf{v} \cdot d\mathbf{s}$ (\mathbf{v} — вектор скорости жидкости; $d\mathbf{s}$ — векторный элемент границы) и используя уравнение движения вязкой жидкости

$$\frac{d\mathbf{v}}{dt} = -\text{grad} \frac{p}{\rho} + \nu \Delta \mathbf{v},$$

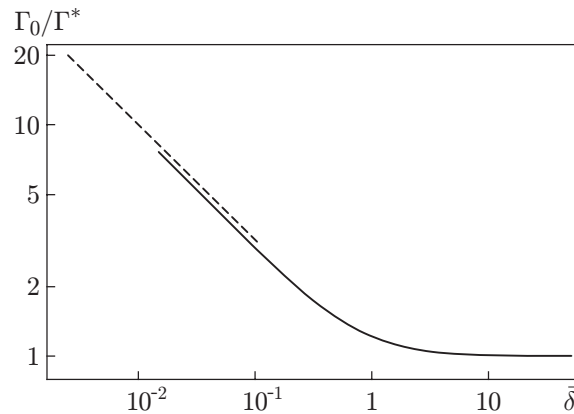


Рис. 2. Зависимость безразмерной циркуляции от относительной ширины зазора: сплошная линия — решение методом граничных элементов, штриховая — асимптотическое решение

получаем точное выражение для изменения циркуляции во времени

$$\frac{d\Gamma}{dt} = \oint \frac{d\mathbf{v}}{dt} \cdot d\mathbf{s} = \oint \nu \Delta \mathbf{v} \cdot d\mathbf{s}$$

(интеграл по замкнутому контуру от $\text{grad}(p/\rho)$ равен нулю). Лапласиан скорости на границе цилиндра оценивается следующим образом:

$$|\Delta \mathbf{v}| \approx \frac{|\mathbf{v}|}{\varepsilon^2} \approx \frac{|\mathbf{v}|}{D^2} \text{Re}$$

(ε — толщина пограничного слоя). Для определения циркуляции получаем уравнение

$$\frac{d\Gamma}{dt} = -k\nu \frac{\text{Re}}{D^2} \oint \mathbf{v} \cdot d\mathbf{s} = -k \frac{V_0}{D} \Gamma \quad \Rightarrow \quad \Gamma = \Gamma_0 \exp\left(-k \frac{V_0 t}{D}\right), \quad t \in \left(0, \frac{\tau}{2}\right), \quad (5)$$

где k — эмпирический коэффициент. Циркуляция Γ во время движения цилиндра от одной стенки к другой изменяется по закону (5), при этом в начальный момент времени на стенке она равна Γ_0 . В момент касания стенки циркуляция мгновенно принимает значение $-\Gamma_0$, при движении цилиндра в обратную сторону изменяется по закону (5), затем процесс повторяется. Коэффициент n в формуле (2) в момент касания цилиндром стенки вычислялся с помощью интеграла Бернулли:

$$n = H_1 + \frac{1}{4\bar{\delta}} + \frac{H_2}{\bar{\delta}H_3} \ln \bar{\delta},$$

где $H_1 = 0,65$; $H_2 = 0,0195$; $H_3 = -0,4$. Сила, вычисленная по формуле (2), хорошо согласуется с результатами расчетов в [6].

4. Полученные данные о коэффициентах присоединенных масс и циркуляции позволили приближенно описать процесс автоколебаний цилиндра между двумя стенками при сильном загромождении им потока реальной жидкости. Численные расчеты показали, что значение коэффициента k практически не влияет на число Струхала вследствие значительной загроможденности канала, обуславливающей слабое изменение циркуляции в течение времени движения цилиндра от одной стенки к другой. Поэтому для простоты при моделировании считалось, что $k = 1$.

Зависимости безразмерных координаты и скорости цилиндра от безразмерного времени при $\rho/\rho_f = 1,29$, $\delta/D = 0,31$ представлены на рис. 3. Об эффекте присоединенных масс

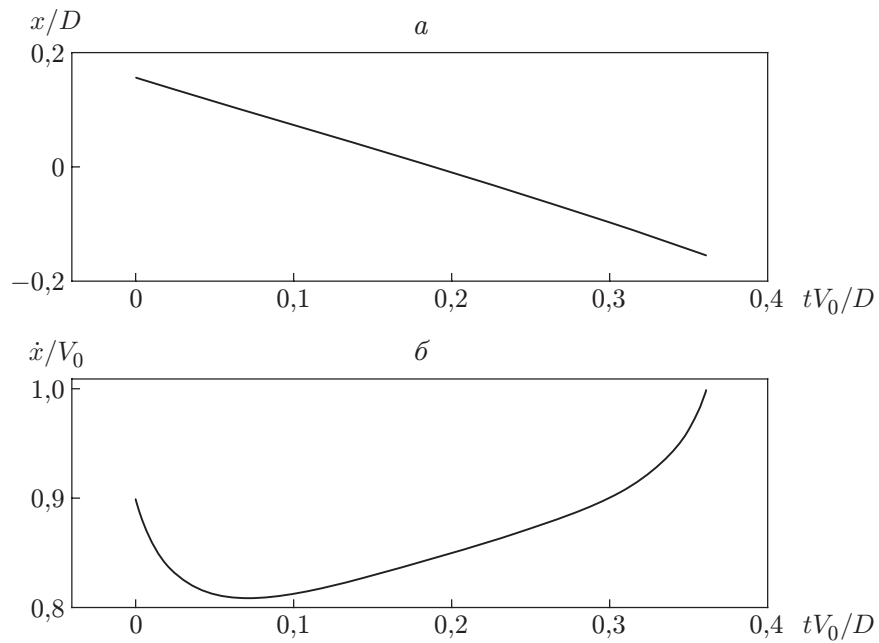


Рис. 3. Зависимости безразмерных координаты (а) и скорости (б) цилиндра от безразмерного времени за полупериод автоколебаний

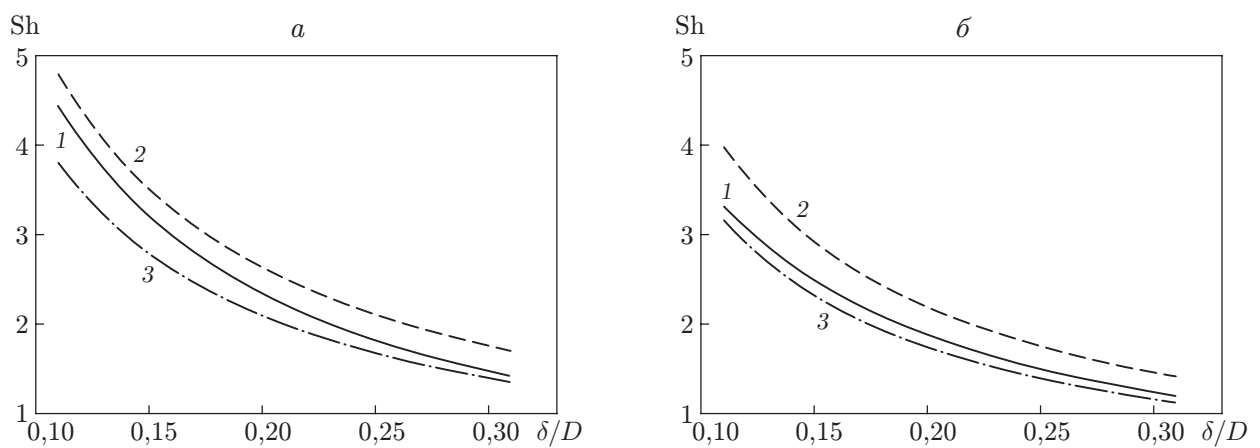


Рис. 4. Зависимость числа Струхалия от относительной ширины зазора:
 а — $\rho/\rho_f = 1,29$, б — $\rho/\rho_f = 8,2$; 1 — результаты расчетов, 2, 3 — экспериментальные данные (2 — $Re = 1,5 \cdot 10^4$, 3 — $Re = 7,2 \cdot 10^4$)

свидетельствует появление симметричной силы, направленной от центра канала, вследствие чего в начале движения от стенки цилиндр замедляется, затем ускоряется. Вследствие наличия циркуляции создается дополнительная сила, направление которой совпадает с направлением движения, и цилиндр начинает ускоряться, не достигнув центра канала.

С помощью сравнения результатов проведенных расчетов с результатами расчетов по экспериментальной формуле (1) для частоты автоколебаний цилиндра найдено решение, соответствующее значениям коэффициента сопротивления $C_d = 10$ и коэффициента восстановления $C_r = 0,9$ (рис. 4). Отметим, что, поскольку в модели отсутствует вязкость жидкости, число Струхала не зависит от числа Рейнольдса, в то время как в экспериментах [1] эта зависимость была слабой. Сравнение результатов, приведенных на рис. 4, показывает, что при использовании принятой схемы определения частоты автоколебаний результаты расчетов и экспериментальные данные достаточно хорошо согласуются. В рассматриваемом диапазоне экспериментальных данных погрешность не превышает 17 % и в среднем составляет 7 %.

ЛИТЕРАТУРА

1. **Карликов В. П., Хомяков А. Н., Шоломович Г. И.** Экспериментальное исследование поперечных автоколебаний круговых цилиндров, сильно загромождающих поток в плоском канале // Изв. РАН. Механика жидкости и газа. 2005. № 5. С. 133–138.
2. **Харламов А. А.** О возможности моделирования поперечных автоколебаний свободного кругового цилиндра, сильно загромождающего поток в плоском канале // Вестн. Моск. ун-та. Сер. 1. Математика, механика. 2010. № 3. С. 60–63.
3. **Милн-Томсон Л. М.** Теоретическая гидродинамика. М.: Мир, 1964.
4. **Петров А. Г.** Квадратурные формулы для периодических функций и их применение в методе граничных элементов // Журн. вычисл. математики и мат. физики. 2008. Т. 48, № 8. С. 1344–1361.
5. **Петров А. Г.** Аналитическая гидродинамика. М.: Физматлит, 2009.
6. **Карликов В. П., Толоконников С. Л.** О силе, действующей на примыкающий к стенке плоского канала цилиндр, сильно загромождающий стационарный поток идеальной несжимаемой жидкости // Изв. Тул. гос. ун-та. Сер. Математика, механика, информатика. 2004. № 7. С. 105–110.

*Поступила в редакцию 24/І 2011 г.,
в окончательном варианте — 12/V 2011 г.*